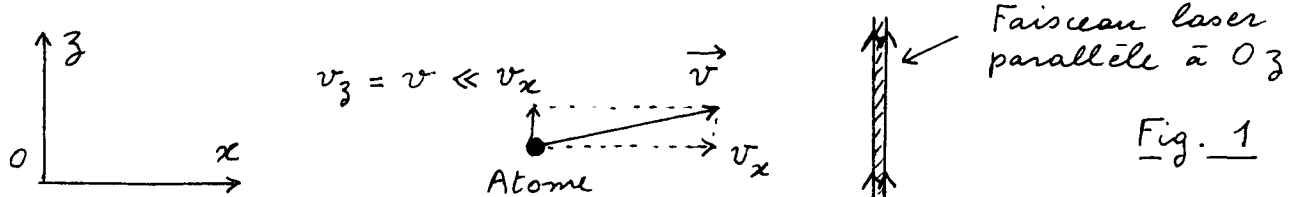


Lame séparatrice pour atome associé à une onde laser plane progressive

Buts de ce cours

- Calculer l'effet sur l'état d'un atome de la traversée d'une onde laser plane progressive (Fig. 2 du cours I). Expressions de l'état après traversée en fonction de l'état avant.
- Généraliser le calcul précédent au cas où l'atome traverse successivement 2 ondes laser progressives séparées par une certaine distance.
- Montrer que, pour un atome de vitesse donnée v le long des ondes laser, des franges de Ramsey apparaissent sur les signaux atomiques avec une largeur inversement proportionnelle au temps séparant les 2 traversées successives.
- Montrer que la moyenne sur v fait disparaître les franges de Ramsey et passer en revue quelques méthodes utilisant des ondes stationnaires ou des réseaux de fentes pour faire réapparaître ces franges.
Les méthodes utilisant 2 paires d'ondes progressives se propagant en sens opposés et le lien entre les méthodes de spectroscopie à haute résolution sans effet Doppler et l'interférométrie atomique seront abordés dans le cours suivant.

① Modèle choisi - Notations



Atome

- Appartient à un jet de direction moyenne parallèle à Ox
- Degrés de liberté internes
 - $b \xrightarrow{\hbar\omega_A} E_b = \hbar\omega_A$ ω_A = Fréquence atomique
 - $a \xrightarrow{\hbar\omega_A} E_a = 0$ Fig. 2
 - $E_b - E_a = \hbar\omega_A$ (2.1)
- Opérateur moment dipolaire électrique \vec{d}

$$\vec{d} = \underbrace{\vec{d}|b\rangle\langle a|}_{\vec{d}^+} + \underbrace{\vec{d}|a\rangle\langle b|}_{\vec{d}^-} \quad (2.2)$$

$$\vec{d} = \langle b|\vec{d}|a\rangle = \langle a|\vec{d}|b\rangle, \text{ supposé réel} \quad (2.3)$$

- On néglige toute émission spontanée pendant le temps de traversée de l'onde laser par l'atome
- Degrés de liberté externes. Atome de masse M
- Etat de l'atome : mélange statistique d'états $|\vec{P}\rangle$ avec

$$\vec{P} = M \vec{v} \quad v_z = v \ll v_x \quad (2.4)$$

Jet atomique avec une bonne collimation autour de Ox .

- Hamiltonien atomique H_A . \vec{P} : Opérateur impulsions du centre de masse.

$$H_A = \hbar\omega_A |b\rangle\langle b| + \vec{P}^2/2M \quad (2.5)$$

Onde laser progressive - Direction moyenne parallèle à Oz

- Le jet atomique traverse l'onde laser au voisinage du plan focal. On néglige la courbure des surfaces d'onde qui sont assimilées à des plans perpendiculaires à Oz .

Le champ laser "vu" par l'atome peut donc s'écrire

$$\vec{E}_L(x, z, t) = \underbrace{\frac{i}{2} \vec{E} \vec{E}_0(x) e^{i(k_L z - \omega_L t - \varphi)}}_{\vec{E}_L^+(x, z, t)} + \underbrace{\text{c.c.}}_{\vec{E}_L^-(x, z, t)} \quad (2.6)$$

\vec{E} : polarisation, ω_L : fréquence, k_L : vecteur d'onde, φ : phase

$\vec{E}_0(x)$: amplitude, réelle, dépendant de x sur une distance de l'ordre du rayon focal.

Interaction atome-laser

- Hamiltonien d'interaction V_{AL} (Approximation du "champ tournant")

$$V_{AL} = - \vec{d}^+ \cdot \vec{E}_L^+(\vec{R}, t) - \vec{d}^- \cdot \vec{E}_L^-(\vec{R}, t) \quad (2.7)$$

\vec{R} : opérateur position du centre de masse. En utilisant (2.2), (2.3) et (2.6), on obtient

$$V_{AL} = \frac{\hbar \Omega_1(x)}{2} [|b\rangle\langle a| e^{i(k_L z - \omega_L t - \varphi)} + |a\rangle\langle b| e^{-i(k_L z - \omega_L t - \varphi)}] \quad (2.8)$$

où $\hbar \Omega_1(x) = - \vec{E} \cdot \vec{D} \vec{E}_0(x)$ (2.9)

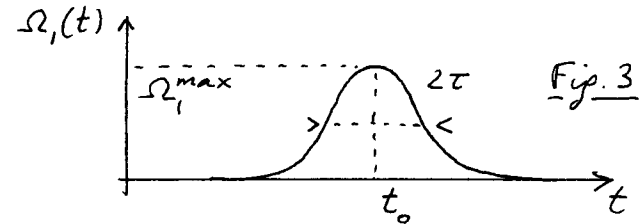
est une "fréquence de Rabi".

- Approximation : On néglige l'effet de V_{AL} sur le mouvement le long de Ox et on traite ce mouvement classiquement, remplaçant dans (2.8) et (2.9) l'opérateur X par la grandeur classique $x = v_x t$. Par contre, le mouvement le long de Oz est traité quantiquement (Z reste un opérateur).

$\Omega_1(x=v_x t)$ apparaît alors comme une fonction de t , $\Omega_1(t)$, représentée sur la Figure 3

t_0 : instant où l'atome arrive au centre de l'onde laser

2τ : temps de traversée de l'onde laser



② Effet sur l'atome de la traversée de l'onde laser

Équation de Schrödinger

- Etats de base de l'atome

Partons de l'état $|a, p\rangle$: atome dans l'état a , avec une impulsion le long de Oz égale à $P_z = M v_z = p$. Comme l'opérateur $e^{i k_L Z}$ (ou $e^{-i k_L Z}$) figurant dans (2.8) est un opérateur de translation de l'impulsion

$$e^{\pm i k_L Z} |p\rangle = |p \pm \hbar k_L\rangle, \quad (2.10)$$

V_{AL} ne couple $|a, p\rangle$ qu'à $|b, p + \hbar k_L\rangle$, et réciproquement.

Nous écrivons donc l'état de l'atome à l'instant t sous la forme

$$|\Psi(t)\rangle = c_a(t) |a, p\rangle + c_b(t) |b, p + \hbar k_L\rangle \quad (2.11)$$

- Représentation d'interaction par rapport à H_A

II-3

$$\{ H_A |a, p\rangle = \hbar \omega_{a,p} |a, p\rangle = \frac{p^2}{2M} |a, p\rangle \quad (2.12.a)$$

$$\{ H_A |b, p+\hbar k_L\rangle = \hbar \omega_{b,p+\hbar k_L} |b, p+\hbar k_L\rangle = \left(\hbar \omega_A + \frac{(p+\hbar k_L)^2}{2M} \right) |b, p+\hbar k_L\rangle \quad (2.12.b)$$

Récrivons (2.11) sous la forme

$$|\Psi(t)\rangle = \gamma_a(t) e^{-i\omega_{a,p}t} |a, p\rangle + \gamma_b(t) e^{-i\omega_{b,p+\hbar k_L}t} |b, p+\hbar k_L\rangle \quad (2.13)$$

et portons (2.13) dans l'équation de Schrödinger

$$i\hbar \frac{d}{dt} |\Psi(t)\rangle = (H_A + V_{AL}) |\Psi(t)\rangle \quad (2.14)$$

On obtient pour γ_a et γ_b les équations

$$\dot{\gamma}_a(t) = -i \frac{\Omega_L(t)}{2} e^{i(\Delta t + \varphi)} \gamma_b(t) \quad (2.15.a)$$

$$\dot{\gamma}_b(t) = -i \frac{\Omega_L(t)}{2} e^{-i(\Delta t + \varphi)} \gamma_a(t) \quad (2.15.b)$$

où $\Delta = \omega_{a,p} + \omega_L - \omega_{b,p+\hbar k_L}$ (2.16)

- Interprétation de Δ à partir des états d'impulsion-énergie
(voir aussi Refs. 1-4)

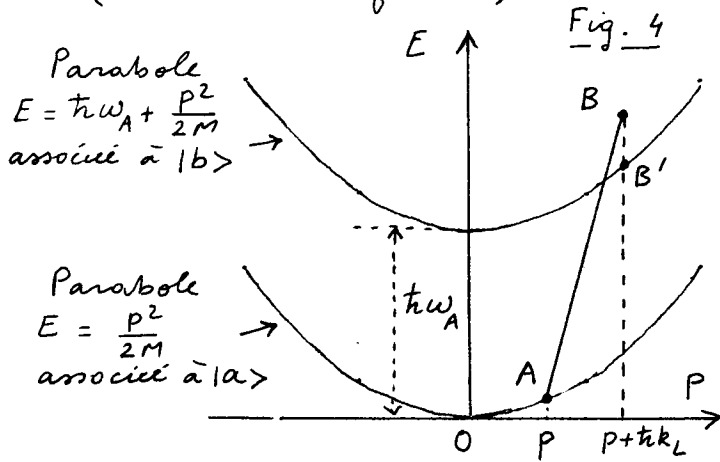


Fig. 4

- Etat initial A : $P_A = P$, $E_A = \frac{P^2}{2M}$
- AB droite de pente c , partant de A et telle que
 $P_B - P_A = \hbar k_L$
 $E_B - E_A = \hbar c k_L = \hbar \omega_L$
- B n'est en général pas sur la parabole associée à b.
Soit B' le point de cette parabole ayant même abscisse que B
 $\hbar \Delta = E_B - E_{B'}$

$\hbar \Delta$ est donc le désaccord entre l'énergie de l'état $|a, p\rangle$ augmentée de $\hbar \omega_L$, et l'énergie de l'état $|b, p+\hbar k_L\rangle$ initial $|a, p\rangle$ au couplé par V_{AL} .

En utilisant (2.12.a) et (2.12.b), on obtient

$$\Delta = \delta - \omega_D - \omega_R \quad (2.17)$$

avec

$$\delta = \omega_L - \omega_A \quad (2.18.a) \quad \omega_D = \frac{k_L P}{M} = k_L v \quad (2.18.b) \quad \omega_R = \frac{\hbar k_L^2}{2M} \quad (2.18.c)$$

δ est le désaccord entre la fréquence laser et la fréquence atomique. ω_D et ω_R sont les déplacements de fréquence respectivement associés à l'effet Doppler et à l'énergie de recul.

- Obtention d'équations indépendantes de la phase φ de l'onde laser et de l'instant t_0 de traversée.

Dans les équations (2.15), φ apparaît et Ω_L dépend de $t - t_0$. (voir Fig. 3). Posons

$$\begin{cases} \tilde{\gamma}_a(t) = \gamma_a(t) \\ \tilde{\gamma}_b(t) = \gamma_b(t) e^{i(\Delta t_0 + \varphi)} \end{cases} \quad (2.19.a)$$

$$\begin{cases} \tilde{\gamma}_a(t) = \gamma_a(t) \\ \tilde{\gamma}_b(t) = \gamma_b(t) e^{i(\Delta t_0 + \varphi)} \end{cases} \quad (2.19.b)$$

On obtient

$$\frac{d}{dt} \tilde{\gamma}_a(t) = -i \frac{\Omega_1(t)}{2} e^{i\Delta(t-t_0)} \tilde{\gamma}_b(t) \quad (2.20.a)$$

$$\frac{d}{dt} \tilde{\gamma}_b(t) = -i \frac{\Omega_1(t)}{2} e^{-i\Delta(t-t_0)} \tilde{\gamma}_a(t) \quad (2.20.b)$$

Dans les équations (2.20), η n'apparaît plus et Ω_1 ne dépend que de $t-t_0$ (voir Fig. 3), comme les exponentielles $e^{\pm i\Delta(t-t_0)}$. La solution de ces équations ne dépend donc pas de $t-t_0$.

Solutions de l'équation de Schrödinger

- Pour $|t-t_0| \gg \tau$, où τ est la durée de traversée (voir Fig. 3), $\tilde{\gamma}_a(t)$ et $\tilde{\gamma}_b(t)$ ne varient plus avec t puisque $\Omega_1(t)$ est alors nul.
- Soient t_+ et t_- des instants suffisamment loin dans le futur et le passé de t_0 .

$$t_+ - t_0 \gg \tau \quad t_0 - t_- \gg \tau \quad (2.21)$$

Le passage de $\{\tilde{\gamma}_a(t_-), \tilde{\gamma}_b(t_-)\}$ à $\{\tilde{\gamma}_a(t_+), \tilde{\gamma}_b(t_+)\}$ est réalisé par une matrice S (éléments de matrice de l'opérateur d'évolution $U(t_+, t_-)$, qui ne dépendent plus de t_+ et t_- si les conditions (2.21) sont remplies).

$$\begin{cases} \tilde{\gamma}_a(t_+) = S_{aa} \tilde{\gamma}_a(t_-) + S_{ab} \tilde{\gamma}_b(t_-) \\ \tilde{\gamma}_b(t_+) = S_{ba} \tilde{\gamma}_a(t_-) + S_{bb} \tilde{\gamma}_b(t_-) \end{cases} \quad (2.22)$$

La matrice S

$$(S) = \begin{pmatrix} S_{aa} & S_{ab} \\ S_{ba} & S_{bb} \end{pmatrix} \quad (2.23)$$

est unitaire

$$SS^\dagger = S^\dagger S = \mathbb{1} \quad (2.24)$$

si les processus dissipatifs (émissions spontanées, collisions...) ont un effet négligeable entre t_- et t_+ .

- Solution perturbative : $\Omega_1^{\max} \tau \ll 1$

Supposons que le système soit initialement dans l'état $|a, p\rangle$: $\tilde{\gamma}_a(t_-) = 1$, $\tilde{\gamma}_b(t_-) = 0$. Pour avoir $\tilde{\gamma}_b(t_+)$ à l'ordre 1 en Ω_1 , on peut remplacer $\tilde{\gamma}_a(t)$ par 1 dans (2.20.b), ce qui donne

$$\tilde{\gamma}_b(t_+) \approx \int_{t_-}^{t_+} dt \frac{-i\Omega_1(t)}{2} e^{-i\Delta(t-t_0)} \approx -\frac{i}{2} \int_{-\infty}^{+\infty} \Omega_1(t) e^{-i\Delta t} dt \quad (2.25)$$

L'amplitude de transition de $|a, p\rangle$ vers $|b, p + \hbar k_L\rangle$ est proportionnelle à la transformée de Fourier de $\Omega_1(t)$ à la fréquence Δ .

- Cas limite $\Delta t \ll 1$. On peut alors remplacer $e^{\pm i\Delta(t-t_0)}$ par 1 dans les équations (2.20) qui peuvent ensuite s'intégrer aisément. (Les fonctions propres du système différentiel sont $\tilde{\gamma}_a(t) \pm \tilde{\gamma}_b(t)$). On obtient

$$\begin{pmatrix} S_{aa} & S_{ab} \\ S_{ba} & S_{bb} \end{pmatrix} = \begin{pmatrix} \cos \frac{\theta}{2} & -i \sin \frac{\theta}{2} \\ -i \sin \frac{\theta}{2} & \cos \frac{\theta}{2} \end{pmatrix} \quad (2.26)$$

où

$$\theta = \int_{-\infty}^{+\infty} \Omega_1(t) dt \quad (2.27)$$

Par exemple si $\theta = \pi/2$, le passage de la lame est équivalent à celui d'une impulsion $\pi/2$: si l'atome entre dans l'état $|a, p\rangle$, il sort dans l'état $\frac{1}{\sqrt{2}}|a, p\rangle - \frac{i}{\sqrt{2}}|b, p + \hbar k_L\rangle$.

- Retours à $c_a(t)$ et $c_b(t)$

A partir de (2.11), (2.13) et (2.19), on peut exprimer $c_a(t)$ et $c_b(t)$ en fonction de $\tilde{\gamma}_a(t)$ et $\tilde{\gamma}_b(t)$

$$\begin{cases} c_a(t) = \tilde{\gamma}_a(t) e^{-i\omega_{a,p}t} \\ c_b(t) = \tilde{\gamma}_b(t) e^{-i\omega_{a,p}t_0} e^{-i(\omega_L t_0 + \varphi)} e^{-i\omega_{b,p+thk_L}(t-t_0)} \end{cases} \quad (2.28.a)$$

$$\begin{cases} c_a(t) = \tilde{\gamma}_a(t) e^{-i\omega_{a,p}t} \\ c_b(t) = \tilde{\gamma}_b(t) e^{-i\omega_{a,p}t_0} e^{-i(\omega_L t_0 + \varphi)} e^{-i\omega_{b,p+thk_L}(t-t_0)} \end{cases} \quad (2.28.b)$$

En utilisant les équations (2.22), on peut alors exprimer $c_a(t_+)$ et $c_b(t_+)$ en fonction de $c_a(t_-)$ et $c_b(t_-)$. On obtient aussi

$$\begin{aligned} c_a(t_+) = & S_{aa} e^{-i\omega_{a,p}(t_+-t_-)} c_a(t_-) \\ & + S_{ab} e^{-i\omega_{a,p}(t_+-t_0)} e^{i(\omega_L t_0 + \varphi)} e^{-i\omega_{b,p+thk_L}(t_0-t_-)} \end{aligned} \quad (2.29)$$

qui on peut réécrire sous la forme

$$\begin{aligned} c_a(t_+) = & [e^{-i\omega_{a,p}(t_+-t_0)}] [S_{aa}] [e^{-i\omega_{a,p}(t_0-t_-)}] c_a(t_-) \\ & + [e^{-i\omega_{a,p}(t_+-t_0)}] [S_{ab} e^{i(\omega_L t_0 + \varphi)}] [e^{-i\omega_{b,p+thk_L}(t_0-t_-)}] c_b(t_-) \end{aligned} \quad (2.30)$$

On trouve de même

$$\begin{aligned} c_b(t_+) = & [e^{-i\omega_{b,p+thk_L}(t_+-t_0)}] [S_{ba} e^{-i(\omega_L t_0 + \varphi)}] [e^{-i\omega_{a,p}(t_0-t_-)}] c_a(t_-) \\ & + [e^{-i\omega_{b,p+thk_L}(t_+-t_0)}] [S_{bb}] [e^{-i\omega_{b,p+thk_L}(t_0-t_-)}] c_b(t_-) \end{aligned} \quad (2.31)$$

- On en déduit la règle de calcul suivante pour exprimer l'état sortant à t_+ en fonction de l'état entrant à t_-

- On part de $c_a(t_-)$ et $c_b(t_-)$
- On laisse évoluer librement le système de t_- à t_0 , ce qui fait apparaître des exponentielles d'évolution libre
 $e^{-i\omega_{a,p}(t_0-t_-)}$ pour $|a, p\rangle$
 $e^{-i\omega_{b,p+thk_L}(t_0-t_-)}$ pour $|b, p+thk_L\rangle$
- On multiplie l'amplitude
 - par S_{aa} (ou S_{bb}) pour une traversée de la lame sans changement d'état dans l'état $|a, p\rangle$ (ou $|b, p+thk_L\rangle$)
 - par $S_{ab} e^{i(\omega_L t_0 + \varphi)}$ pour une traversée de la lame avec changement de $|b, p+thk_L\rangle$ vers $|a, p\rangle$ (et émission d'un photon)
 - par $S_{ba} e^{-i(\omega_L t_0 + \varphi)}$ pour une traversée de la lame avec changement de $|a, p\rangle$ vers $|b, p+thk_L\rangle$ (et absorption d'un photon)
- On laisse évoluer librement le système de t_0 à t_+ , ce qui fait apparaître des exponentielles d'évolution libre
 $e^{-i\omega_{a,p}(t_+-t_0)}$ pour $|a, p\rangle$
 $e^{-i\omega_{b,p+thk_L}(t_+-t_0)}$ pour $|b, p+thk_L\rangle$

Notons qu'une telle règle ne permettrait pas de calculer $c_a(t)$ et $c_b(t)$ au voisinage de t_0 , où l'évolution du système n'est certainement pas libre. La règle précédente n'est qu'une représentation commode des équations exactes (2.30) et (2.31) reliant l'état entrant à l'état sortant.

③ Effet sur l'atome de la traversée successive de 2 lames

II - 6

Problème étudié

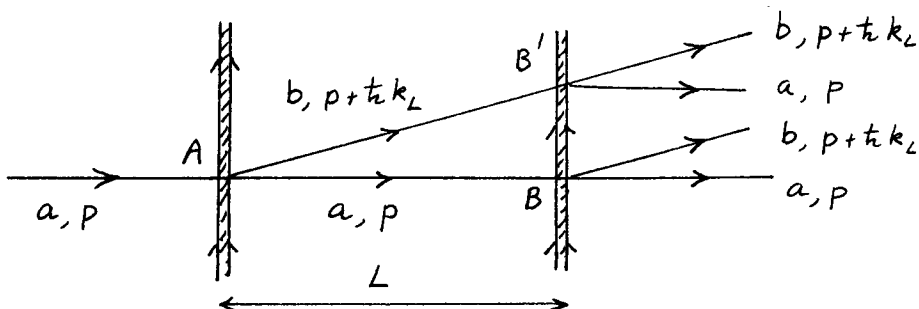


Fig. 5

- L'atome traverse successivement 2 ondes progressives parallèles séparées par une distance L .

t_1 (t_2) : instant où il arrive au centre de la 1^{re} onde (2^{me} onde)

φ_1, φ_2 phases des 2 ondes

$$T = t_2 - t_1 = \frac{L}{v_x} \quad (2.32)$$

T : temps de vol d'une onde à l'autre

- L'atome part de l'état $|a, p\rangle$. On veut calculer les probabilités P_b et P_a de le trouver dans $|b, p + \hbar k_L\rangle$ et $|a, p\rangle$ après la traversée des 2 ondes.
- On néglige pour simplifier tout processus dissipatif, non seulement pendant la traversée de chaque onde, mais aussi pendant le temps de vol T d'une onde à l'autre. Les matrices $S^{(1)}$ et $S^{(2)}$ décrivant l'effet de la traversée de chaque onde sont donc unitaires.

Calcul des amplitudes de transition

- Soient t_1^- un instant antérieur à t_1 ($t_1 - t_1^- \gg T$) et t_2^+ un instant postérieur à t_2 ($t_2^+ - t_2 \gg T$). On veut calculer $c_a(t_2^+)$ et $c_b(t_2^+)$ en fonction de $c_a(t_1^-) = 1$, $c_b(t_1^-) = 0$. Pour cela, il suffit d'utiliser la règle de calcul établie à la fin du § 2.
- Calculons par exemple $c_b(t_2^+)$. Il apparaît clairement sur la figure 5 que 2 chemins permettent d'arriver dans l'état $b, p + \hbar k_L$, celui passant par AB , et celui passant par AB' . On obtient alors, en omettant les facteurs de phase communs à chaque chemin (propagation libre dans a, p entre t_1^- et t_1 et dans $b, p + \hbar k_L$ entre t_2 et t_2^+)

Chemin AB

$$c_b(t_2^+) = [S_{ba}^{(2)} e^{-i(\omega_L t_2 + \varphi_L)}] [e^{-i\omega_{a,p}(t_2 - t_1)}] [S_{aa}^{(1)}] \quad (2.33)$$

Chemin AB'

$$c_b(t_2^+) = [S_{bb}^{(2)}] [e^{-i\omega_{b,p+\hbar k_L}(t_2 - t_1)}] [S_{ba}^{(1)} e^{-i(\omega_L t_1 + \varphi_1)}] \quad (2.34)$$

Calcul des probabilités de transition

- On obtient P_b en prenant le carré du module de la somme des amplitudes (2.33) et (2.34)

$$\beta_b = |S_{ba}^{(2)} S_{aa}^{(1)} + S_{bb}^{(2)} S_{ba}^{(1)} e^{i\Delta(t_2-t_1)} e^{i(\varphi_2-\varphi_1)}|^2 \quad (2.35)$$

où Δ est donné en (2.16)

- Dans l'équation (2.35) apparaissent des termes carrés

$$|S_{ba}^{(2)}|^2 |S_{aa}^{(1)}|^2 + |S_{bb}^{(2)}|^2 |S_{ba}^{(1)}|^2 \quad (2.36)$$

et des termes d'interférence

$$S_{aa}^{(1)*} S_{ba}^{(1)} S_{ba}^{(2)*} S_{bb}^{(2)} e^{i\Delta(t_2-t_1)} e^{i(\varphi_2-\varphi_1)} + \text{c.c.} \quad (2.37)$$

- Un calcul analogue peut être fait pour β_a . On peut vérifier que l'unitarité de $S^{(1)}$ et $S^{(2)}$ entraîne que

$$\beta_a = 1 - \beta_b \quad (2.38)$$

④ Franges de Ramsey à 2 ondes

Variations de β_b avec la fréquence ω_L des ondes laser

- D'après (2.17) et (2.18.a), faire varier ω_L revient à faire varier Δ .
- les termes carrés (2.36) et le coefficient de l'exponentielle dans (2.37) varient lentement avec ω_L , sur un intervalle de l'ordre de l'inverse $1/T$ du temps de traversée de chaque onde. Pour le voir, il suffit de se reporter à (2.25), qui exprime que $S_{ba}^{(1)}$ est, à faible intensité, la transformée de Fourier de la courbe de la figure 3, de largeur de l'ordre de T . (A plus forte intensité, doit apparaître un élargissement radiatif de S_{ba})
- l'exponentielle de (2.37) fait apparaître des oscillations de fréquence $(t_2-t_1)=T$, donc de période $2\pi/T$ en ω_L beaucoup plus petite que la largeur (en $1/\tau$) du facteur multiplicatif. La figure 6 donne l'allure des variations de β_b avec ω_L qui font apparaître des franges d'interférence (Franges de Ramsey) superposées à un fond beaucoup plus large de diffraction.

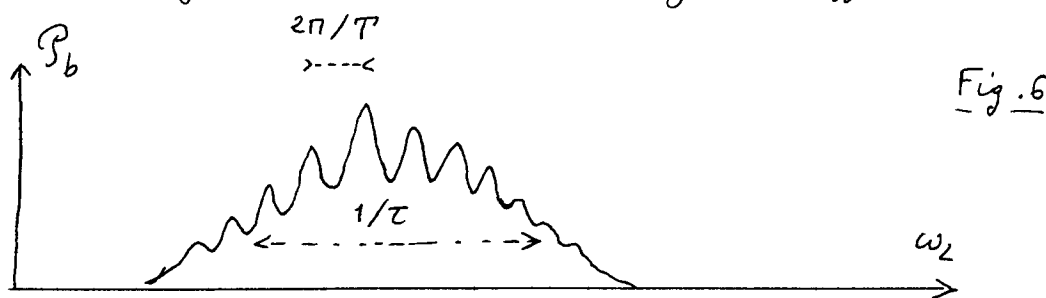


Fig. 6

Moyenne sur les vitesses atomiques

- L'état initial externe de l'atome est un mélange statistique d'états $|P\rangle$. Il faut donc moyennner l'expression (2.35) de β_b sur les vitesses. Moyennons sur $v_3=v$, v_2 étant fixé. Compte tenu de (2.17) et (2.18), l'exponentielle de (2.35) et (2.37) s'écrit :

$$e^{i\Delta(t_2-t_1)} = e^{i(\omega_L - \omega_A - \omega_R)(t_2-t_1)} e^{-ik_L v(t_2-t_1)}$$

(II-8)

(2.39)

- Soit δv la dispersion des valeurs de v autour de $\bar{v} = 0$. La moyenne de $e^{-ik_L v(t_2-t_1)} = e^{-ik_L v T}$ sera nulle si

$$k_L \delta v T \gg 1 \quad (2.40)$$

c'est à dire encore si

$$\delta v T \gg \lambda_L \quad (2.41)$$

où λ_L est la longueur d'onde du laser. Compte tenu de (2.32), on peut encore dire que les franges de Ramsey ne se brouilleront pas par moyenne sur v , seulement si

$$\frac{\delta v}{\bar{v}_x} \ll \frac{\lambda_L}{L} \quad (2.42)$$

c'est à dire si la collimation du jet atomique autour de Ox est meilleure que λ_L/L .

Prenons par exemple $\lambda_L = 1 \mu m$, $L = 1 cm$. Il faut une collimation meilleure que 10^{-4} , ce qui montre la difficulté d'observer des franges de Ramsey en optique.

Description usuelle semiclassique

- Dans les descriptions usuelles semiclassiques, on ne tient pas compte des changements de $v_3 = v$ après traversée de chaque onde

- Considérons donc des atomes volant en ligne droite d'une onde à l'autre. La 1^{re} traversée met en mouvement le dipôle atomique, qui oscille librement entre les 2 ondes, puis interagit avec la 2^{me} onde cohérente avec la 1^{re}.

Le déphasage entre les 2 perturbations "vues" par l'atome dépend des points de traversée. Considérons 2 atomes arrivant à un même point B de la 2^{me} onde et traversant la 1^{re} onde en 2 points différents A et A' séparés par une distance non négligeable devant λ (Fig. 7). Ces 2 atomes vont donner des franges de Ramsey décalées de plus d'une interfrange, ce qui montre que les franges de Ramsey vont se brouiller.

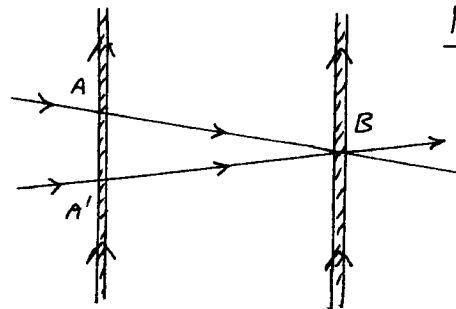


Fig. 7

Cas de 2 ondes laser stationnaires

- Dans une onde laser stationnaire, la phase est la même partout, mais le champ change de signe tous les $\lambda_L/2$ (Fig. 8)

- Deux trajectoires atomiques traversant la 2^{me} onde en un ventre + et ayant traversé la 1^{re} onde en un ventre + ou - vont avoir de déphasages différents (de π). Les franges de Ramsey correspondantes seront en opposition de phase et se brouilleront donc.

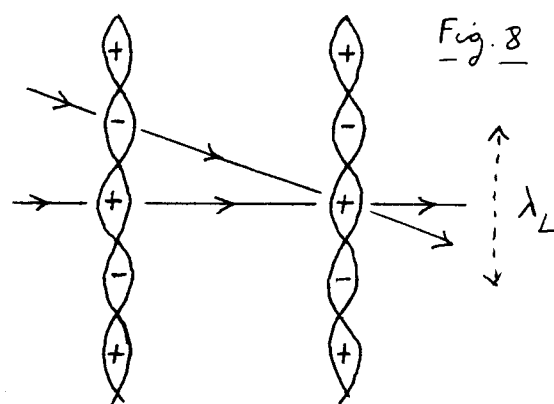
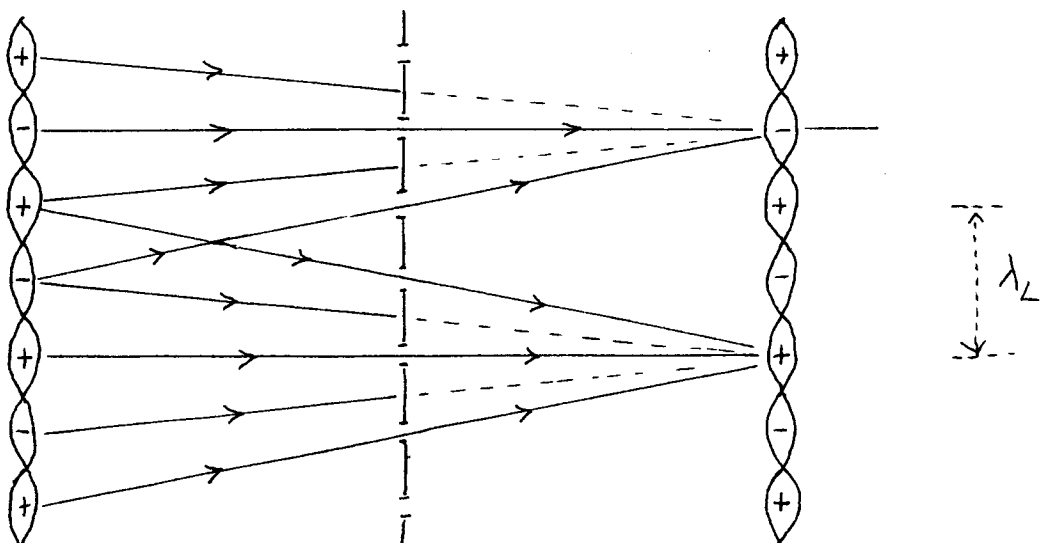


Fig. 8

Première méthode possible pour faire réapparaître les (II - 9)
franges de Ramsey avec 2 ondes laser stationnaires (Ref. 5)

- Il faut privilégier les trajectoires traversant les 2 ondes stationnaires en 2 ventres de même signe par rapport à celle traversant les 2 ondes en 2 ventres de signes opposés
- On peut pour cela interposer entre les ondes, à mi-chemin entre les 2 ondes, un réseau de fentes de périodicité spatiale $\lambda_L/2$ (Fig. 9). On voit sur la figure 9 qu'on peut aussi bloquer les trajectoires $- \rightarrow +$ ou $+ \rightarrow -$ et laisser passer les trajectoires $+ \rightarrow +$ ou $- \rightarrow -$

Fig. 9



Une telle méthode a été mise en œuvre avec succès sur la transition à $3,39 \mu\text{m}$ du méthane (Ref. 5)

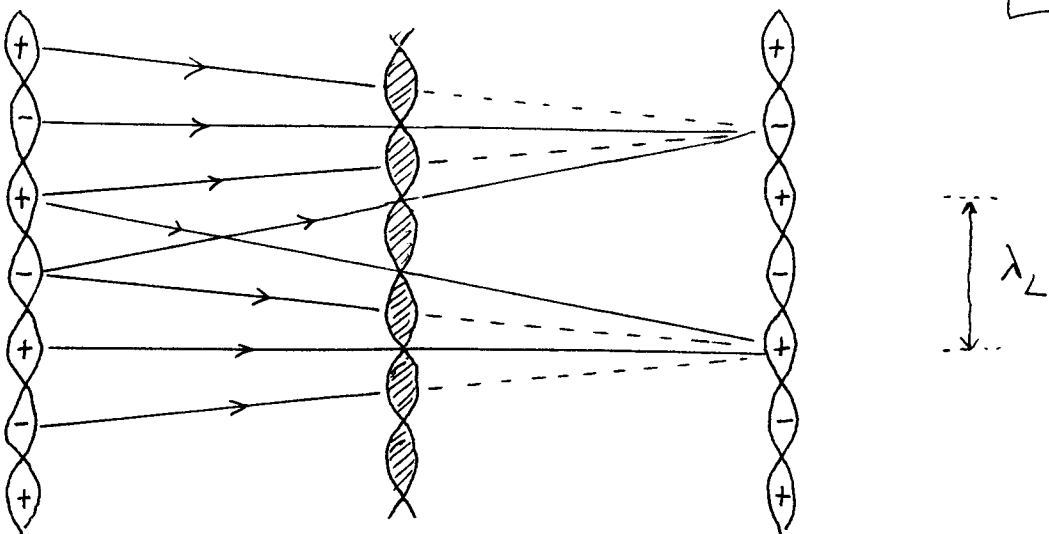
- On peut se convaincre aisément que la même méthode demeure valable si l'on remplace les 2 ondes stationnaires de la figure 9 par 2 ondes progressives se propageant en sens opposés. Les trajectoires passant par les fentes relient alors des points qui ont la même phase sur les 2 ondes.

Autre méthode possible (Ref. 6)

- En fait, la méthode précédente n'a pas été la première à être proposée et utilisée pour faire réapparaître les franges de Ramsey à 2 ondes stationnaires. La première méthode proposée utilise une 3^e onde laser stationnaire intense, située à égale distance des 2 autres (à la place de l'écran percé de fentes de la figure 9) - Voir Ref. 6

Les atomes passant par les nœuds de cette 3^e onde stationnaire ne "voient" pas la perturbation associée à cette onde. Par contre, ceux qui passent à un ventre sont "saturés" et leur moment dipolaire électrique est réduit. Les nœuds et les ventres de cette 3^e onde stationnaire jouent donc le rôle des fentes et des parties pleines du réseau de la figure 9 (voir Fig. 10)

Fig. 10



Notons que la perturbation associée aux effets non linéaires dûs à la 3^e onde stationnaire dépend de l'intensité de cette onde et a donc une période spatiale égale à $\lambda_L/2$ comme le risque de fentes de la figure 9.

- Une telle méthode a permis d'observer expérimentalement des franges de Ramsey à 2 ondes stationnaires sur plusieurs atomes (voir, par exemple, Ref. 7). Là encore, la méthode demeure valable si l'on remplace la 1^{re} et la 3^e onde stationnaire de la figure 10 par 2 ondes progressives se propagant dans des sens opposés

Références

- 1 - C. Salomon, Thèse Paris XIII, 1984, Chap. 1
- 2 - C. J. Bordé, C. Salomon, S. Avrillier, A. Vanherck, C. Bréant, D. Barni, S. Scoles, Phys. Rev. A30, 1836 (1984)
- 3 - C. Bordé, Advances in Laser Spectroscopy, ed. by F.T. Arecchi, F. Strumia, H. Walther (Plenum, 1983), p. 1
- 4 - C. Bordé, Revue du Céthedes, Ondes et Signal NS83-1 (1983)
- 5 - G. Kramer, J. O.S.A. 68, 1634 (1978)
- 6 - Y.V. Baklanov, B.Y. Dubetsky, V.P. Cheshotayev Appl. Phys. 9, 171 (1976)
- 7 - J.C. Bergquist, S.A. Lee, J.L. Hall, Phys. Rev. Lett. 38, 159 (1977)

Remarque

Dans un cours ultérieur, nous généraliserons les calculs de ce cours (relatifs à la traversée d'une onde progressive) à des situations où 2 ondes laser de directions opposées induisent des transitions Raman stimulées sélectives en vitesse entre 2 sous niveaux fondamentaux g_1 et g_2 de très longue durée de vie. La traversée de la lame plane alors l'atome dans une superposition linéaire de g_1 et g_2 avec des impulsions différentes (généralisation de (2.11)).